

УДК 629.78.015

СТАБИЛИЗАЦИЯ СПУСКАЕМОГО АППАРАТА ЧАСТИЧНОЙ ЗАКРУТКОЙ ПРИ ОСУЩЕСТВЛЕНИИ НЕУПРАВЛЯЕМОГО СПУСКА

© 2002 г. В. С. Асланов, А. В. Дорошин

Самарский государственный аэрокосмический университет

Поступила в редакцию 04.07.2000 г.

Рассматривается стабилизация спускаемого аппарата (СА) способом частичной закрутки при осуществлении неуправляемого спуска в атмосферу. Аппарат в этом случае представляет собой составную конструкцию, состоящую из двух твердых тел – спускаемой капсулы и стабилизирующего блока, приводимого во вращательное движение. Строится модель пространственного движения спускаемого аппарата как системы соосных твердых тел, вращающихся относительно общей оси симметрии. Проводится исследование свободного движения, а также анализ устойчивости стационарных режимов. Рассматривается пространственное движение системы при наличии малой асимметрии, связанной со смещением осей динамических симметрий тел относительно оси вращения и находятся приближенные решения для параметров движения свободной системы.

1. ПОСТАНОВКА ЗАДАЧИ

При осуществлении неуправляемого спуска СА необходимо обеспечить попадание в определенную область земной поверхности с наименьшей величиной рассеивания точек падения, а также выполнить требования, связанные с уровнем перегрузок и условиями работы парашютной системы. Попадание в заданную область с требуемой величиной рассеивания точек посадки определяется начальными условиями входа СА в атмосферу и характеристиками аппарата. Для обеспечения требуемых углов входа в плотные слои атмосферы необходимо определенным образом сориентировать СА и выдать тормозной импульс. Стабилизация СА осуществляется его закруткой относительно продольной оси. После входа СА в атмосферу производится гашение угловой скорости закрутки для выполнения условий работы парашютной системы, а также предотвращения возникновения резонансных режимов движения [1, 2]. Гашение угловой скорости СА может осуществляться с помощью системы грузов на разматывающихся тросах, отделяемых в конце процесса [3].

Одним из способов стабилизации, исключаящим последующее гашение угловой скорости всего аппарата, является его частичная закрутка, при которой во вращательное движение приводится какой-либо блок СА, отделяемый после входа в атмосферу. При этом возвращаемая часть СА не приводится во вращательное движение. Аппарат в данном случае представляет собой механическую систему двух твердых тел, имеющих общую ось вращения. Одно из этих тел является стабилизирующим блоком, а другое представляет собой СА. Аппараты, допускающие частичную

закрутку, могут быть использованы в системах дистанционного зондирования земной поверхности для доставки полученного фотоматериала на Землю: тело 1 представляет собой стабилизирующий блок с тормозной двигательной установкой, отсоединяемый после входа в атмосферу, а тело 2 – непосредственно спускаемый аппарат (рис. 1).

Известны работы [4, 5], посвященные исследованию переходных режимов движения и устойчивости стабилизируемых состояний спутников с двойным вращением, осесимметричных гироскопов, а также некоторых более общих систем, состоящих из многих соосных маховиков.

Ставится задача проведения исследования свободного движения соосных тел, в том числе при

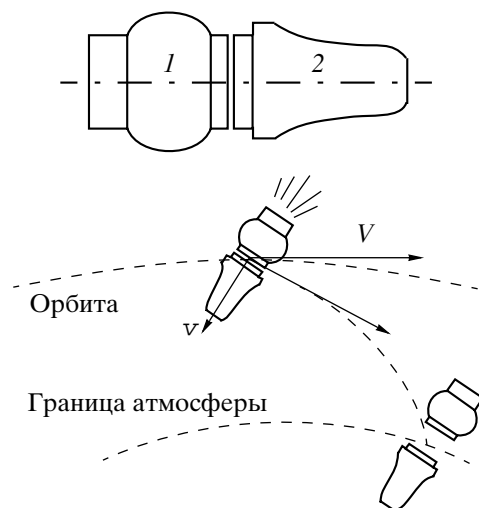


Рис. 1. Общий вид СА и процесс входа в атмосферу.

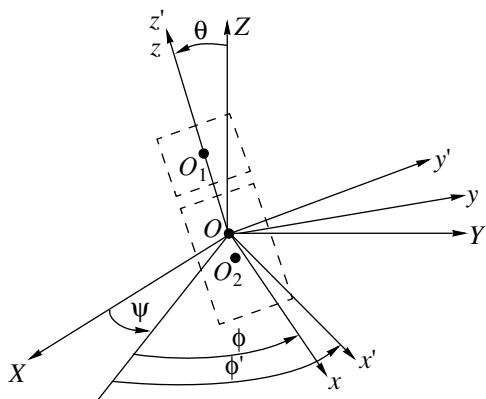


Рис. 2. Схема соосных тел и используемые системы координат.

наличия асимметрии, обусловленной малым смещением продольной оси симметрии одного из тел от оси вращения, а также анализа устойчивости стационарных режимов.

2. УРАВНЕНИЯ ДВИЖЕНИЯ СИСТЕМЫ СООСНЫХ ТЕЛ

Пусть система координат $OXYZ$ движется поступательно в инерциальном пространстве, а ее начало совпадает с центром масс системы соосных тел. Системы координат $Ox'y'z'$ и $Oxyz$ связаны с телами 1 и 2 соответственно и вращаются относительно системы $OXYZ$. Оси Oz и Oz' связанных систем совпадают с общей осью вращения тел (рис. 2). Положение соосных тел относительно системы $OXYZ$ будем характеризовать эйлеровыми углами: θ – угол прецессии, θ – угол нутации, ϕ' , ϕ – углы собственных вращений тел 1 и 2.

Векторы угловых скоростей вращений тел 1 и 2 $\omega' = (p', q', r')$ и $\omega = (p, q, r)$ представлены в проекциях на оси своих связанных систем координат ($Ox'y'z'$ и $Oxyz$) и выражаются через углы Эйлера следующим образом:

$$p = \dot{\psi} \sin \theta \sin \phi + \dot{\theta} \cos \phi,$$

$$p' = \dot{\psi} \sin \theta \sin \phi' + \dot{\theta} \cos \phi',$$

$$q = \dot{\psi} \sin \theta \cos \phi - \dot{\theta} \sin \phi,$$

$$q' = \dot{\psi} \sin \theta \cos \phi' - \dot{\theta} \sin \phi',$$

$$r = \dot{\psi} \cos \theta + \dot{\phi}, \quad r' = \dot{\psi} \cos \theta + \dot{\phi}'.$$

Введем угол и скорость относительного закручивания:

$$\delta = \phi' - \phi, \quad \sigma = \dot{\delta}.$$

Компоненты вектора угловой скорости $\omega' = (p', q', r')$, выраженные через компоненты p, q, r угловой

скорости тела 2 имеют вид:

$$\begin{aligned} p' &= p \cos \delta + q \sin \delta, \\ q' &= q \cos \delta - p \sin \delta, \\ r' &= r + \delta. \end{aligned} \quad (1)$$

Для получения уравнений движения системы соосных тел применим теорему об изменении кинетического момента [6], выбирая в качестве полюса O центр масс системы:

$$\frac{d\mathbf{K}_O}{dt} = \mathbf{M}_O^e. \quad (2)$$

Пусть рассматриваемая система включает в себя динамически симметричные тела. Главные моменты инерции тел 1 и 2, вычисленные в своих связанных системах координат $Ox'y'z'$ и $Oxyz$, обозначим как A_1, C_1 , и A_2, C_2 . Введенные моменты инерции не являются центральными, так как начала связанных с телами систем координат $Ox'y'z'$ и $Oxyz$ совпадают с центром масс системы двух тел. Для указанных моментов инерции можно записать:

$$A_i = m_i l_i^2 + \bar{A}_i, \quad C_i = \bar{C}_i, \quad (i = 1, 2),$$

где $m_i, \bar{A}_i, \bar{C}_i$ – масса и собственные главные центральные моменты инерции тела i , l_i – расстояние между центром масс системы тел и центром масс тела i .

Кинетический момент системы относительно центра масс равен векторной сумме кинетических моментов тел 1 и 2 относительно точки O : $\mathbf{K}_O = \mathbf{K}_1 + \mathbf{K}_2$.

Вычисляя производную кинетического момента системы как суммы кинетических моментов тел, используя при этом локальные производные в связанных системах $Ox'y'z'$ и $Oxyz$, уравнение (2) можно записать в системе $Oxyz$:

$$\hat{\delta} \left[\frac{\tilde{d}\mathbf{K}_1}{dt} + \omega' \times \mathbf{K}_1 \right] + \left[\frac{\tilde{d}\mathbf{K}_2}{dt} + \omega \times \mathbf{K}_2 \right] = \mathbf{M}_O^e, \quad (3)$$

где ω', ω – угловые скорости вращения связанных систем координат относительно движущейся поступательно системы $OXYZ$; знак “ \sim ” обозначает локальную производную в соответствующей подвижной системе координат; $\hat{\delta}$ – тензор перехода от системы координат $Ox'y'z'$ к системе $Oxyz$; $\mathbf{K}_1 = (A_1 p', A_1 q', C_1 r')$, $\mathbf{K}_2 = (A_2 p, A_2 q, C_2 r)$.

Перепишем уравнение (3) в матричном виде:

$$\begin{bmatrix} \cos \delta & -\sin \delta & 0 \\ \sin \delta & \cos \delta & 0 \\ 0 & 0 & 1 \end{bmatrix} \left(\begin{bmatrix} A_1 \dot{p}' \\ A_1 \dot{q}' \\ C_1 \dot{r}' \end{bmatrix} + \begin{bmatrix} p' \\ q' \\ r' \end{bmatrix} \times \begin{bmatrix} A_1 p' \\ A_1 q' \\ C_1 r' \end{bmatrix} \right) + \begin{bmatrix} A_2 \dot{p} \\ A_2 \dot{q} \\ C_2 \dot{r} \end{bmatrix} + \begin{bmatrix} p \\ q \\ r \end{bmatrix} \times \begin{bmatrix} A_2 p \\ A_2 q \\ C_2 r \end{bmatrix} = \begin{bmatrix} M_x \\ M_y \\ M_z \end{bmatrix}, \quad (4)$$

где $M_x = M_{1,x} + M_{2,x}$, $M_y = M_{1,y} + M_{2,y}$, $M_z = M_{1,z} + M_{2,z}$ – компоненты моментов внешних сил, представляющие собой суммы соответствующих проекций моментов, приложенных к телам 1 и 2 соответственно.

Принимая во внимание выражения (1) для компонент угловых скоростей тел, последнее матричное выражение можно свести к следующей системе скалярных уравнений:

$$\begin{aligned} (A_1 + A_2)\dot{p} - (A_1 + A_2 - C_2)qr + C_1q(r + \sigma) &= M_x, \\ (A_1 + A_2)\dot{q} - (C_2 - A_1 - A_2)pr - \\ - C_1p(r + \sigma) &= M_y, \\ C_1(\dot{r} + \dot{\sigma}) + C_2\dot{r} &= M_z. \end{aligned} \quad (5)$$

Для получения уравнения относительного движения тел воспользуемся уравнением Лагранжа второго рода, соответствующим углу относительного закручивания δ . Запишем выражения для кинетической энергии системы и обобщенной силы:

$$\begin{aligned} T &= \frac{1}{2}\mathbf{K}_1 \cdot \boldsymbol{\omega}' + \frac{1}{2}\mathbf{K}_2 \cdot \boldsymbol{\omega} = \\ &= \frac{1}{2}[(A_1 + A_2)(p^2 + q^2) + C_2r^2 + C_1(r^2 + 2r\sigma + \sigma^2)], \\ Q_\delta &= M_{1z} + M_\delta, \end{aligned}$$

где M_δ – момент внутреннего взаимодействия тел вдоль оси вращения.

Величины p , q , r явно не зависят от угла относительного закручивания δ и скорости относительной закрутки ($\sigma = \dot{\delta}$), поэтому уравнение относительного движения будет иметь вид:

$$C_1(\dot{r} + \dot{\sigma}) = M_{1z} + M_\delta. \quad (6)$$

Добавим к динамическим уравнениям (5) и (6) кинематические уравнения для углов Эйлера:

$$\begin{aligned} \dot{\theta} &= p \cos \varphi - q \sin \varphi, \quad \dot{\varphi} = r - \operatorname{ctg} \theta (p \sin \varphi + q \cos \varphi), \\ \dot{\psi} &= \frac{1}{\sin \theta} (p \sin \varphi + q \cos \varphi), \quad \dot{\delta} = \sigma. \end{aligned} \quad (7)$$

3. ДВИЖЕНИЕ СВОБОДНОЙ СИСТЕМЫ СООСНЫХ ТЕЛ

Пусть моменты от внешних сил, действующих на механическую систему отсутствуют ($M_x = M_y = M_z = 0$), а между соосными телами действует постоянный момент относительного закручивания: $M_\delta = M$.

В этом случае система уравнений (5) и (6) запишется в виде:

$$\begin{aligned} \dot{p} &= (A_1 + A_2)^{-1} [(A_1 + A_2 - C_2)qr - C_1q(r + \sigma)], \\ \dot{q} &= (A_1 + A_2)^{-1} \times \\ &\times [(C_2 - A_1 - A_2)pr + C_1p(r + \sigma)], \\ \dot{r} &= \frac{-M}{C_2}, \quad \dot{\sigma} = \frac{M(C_1 + C_2)}{C_1C_2}. \end{aligned} \quad (8)$$

Следуя [6], выберем поступательно движущуюся систему координат так, чтобы ось OZ совпала с неизменным направлением вектора кинетического момента. В этом случае выражения для угловых скоростей и углов Эйлера имеют вид:

$$\begin{aligned} p &= \frac{K}{A_1 + A_2} \sin \theta_0 \sin \varphi, \quad q = \frac{K}{A_1 + A_2} \sin \theta_0 \cos \varphi, \\ r &= \frac{-Mt}{C_2} + r_0, \quad \sigma = \frac{M(C_1 + C_2)}{C_1C_2}t + \sigma_0, \\ \theta &= \theta_0, \quad \varphi = \frac{-Mt^2}{2C_2} + \left(r_0 - \frac{K}{A_1 + A_2} \cos \theta_0 \right) t + \varphi_0, \\ \psi &= \frac{K}{A_1 + A_2}t + \psi_0, \quad \delta = \frac{M(C_1 + C_2)}{2C_1C_2}t^2 + \sigma_0t + \delta_0, \end{aligned} \quad (9)$$

где K – величина кинетического момента системы.

4. УСТОЙЧИВОСТЬ СТАЦИОНАРНЫХ ВРАЩЕНИЙ СВОБОДНОЙ СИСТЕМЫ

Определим возможные стационарные режимы движения свободной системы, приравняв для этого нулю производные угловых скоростей в уравнениях (8):

$$\begin{aligned} (A_1 + A_2)^{-1} [(A_1 + A_2 - C_2)qr - C_1q(r + \sigma)] &= 0, \\ (A_1 + A_2)^{-1} [(C_2 - A_1 - A_2)pr + C_1p(r + \sigma)] &= 0, \\ \dot{r} &= 0, \quad \dot{\sigma} = 0. \end{aligned}$$

Существуют два стационарных режима:

$$\begin{aligned} 1). \quad p &= p_0, \quad q = q_0, \quad r = r_0, \\ \sigma &= \frac{A_1 + A_2 - C_1 - C_2}{C_1}r_0, \\ 2). \quad p &= 0, \quad q = 0, \quad r = r_0, \quad \sigma = \sigma_0, \end{aligned}$$

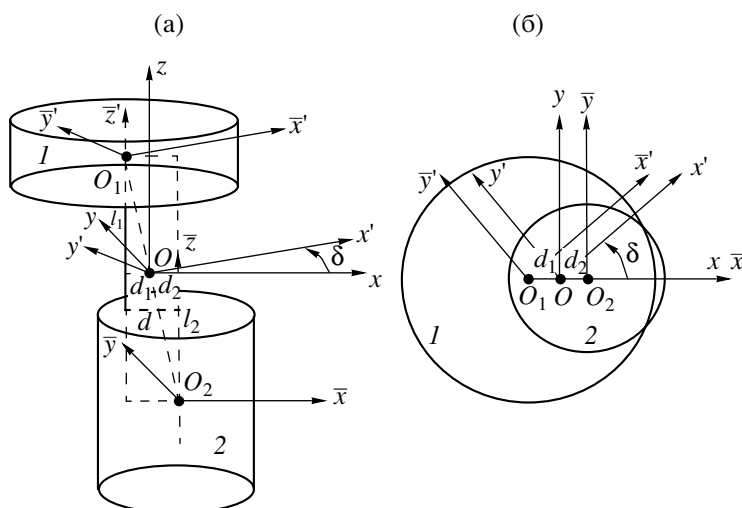


Рис. 3. Соосные тела при наличии малой асимметрии.

где p_0, q_0, r_0, σ_0 – постоянные величины.

Проведем анализ устойчивости первого режима. Введем малые возмущения угловых скоростей $\Delta p, \Delta q, \Delta r, \Delta \sigma$ и запишем уравнения возмущенного движения:

$$\begin{aligned} \frac{d\Delta p}{dt} &= (A_1 + A_2)^{-1} \times \\ &\times ([A_1 + A_2 - C_2]\Delta r - C_1[\Delta r + \Delta \sigma])(q_0 + \Delta q), \\ \frac{d\Delta q}{dt} &= (A_1 + A_2)^{-1} \times \\ &\times ([C_2 - A_1 - A_2]\Delta r + C_1[\Delta r + \Delta \sigma])(p_0 + \Delta p), \\ \frac{d\Delta r}{dt} &= 0, \quad \frac{d\Delta \sigma}{dt} = 0. \end{aligned} \quad (10)$$

Общее решение системы (10) имеет следующий вид:

$$\begin{aligned} \Delta p &= D_1 \cos \chi t + D_2 \sin \chi t - p_0, \\ \Delta q &= D_2 \cos \chi t - D_1 \sin \chi t - q_0, \\ \Delta \sigma &= (\Delta \sigma)_0, \quad \Delta r = (\Delta r)_0, \end{aligned} \quad (11)$$

где $\chi = (A_1 + A_2)^{-1}([A_1 + A_2 - C_2]\Delta r - C_1[\Delta r + \Delta \sigma])$, $D_1 = (\Delta p)_0 + p_0$, $D_2 = (\Delta q)_0 + q_0$, а $(\Delta p)_0, (\Delta q)_0, (\Delta \sigma)_0, (\Delta r)_0$ – начальные значения малых возмущений.

Из решений (11) видно, что первый стационарный режим является устойчивым в линейном приближении в пространстве угловых скоростей. Можно показать, что при первом стационарном режиме векторы кинетического момента системы и угловой скорости тела 2 сонаправлены: $\mathbf{K} = (A_1 + A_2)$.

Второй режим допускает исследование на устойчивость с помощью функции Ляпунова:

$L = (\Delta p)^2 + (\Delta q)^2 + (\Delta r)^2 + (\Delta \sigma)^2$. Производная этой функции в силу уравнений соответствующей возмущенной системы тождественно равна нулю, следовательно, этот режим является устойчивым и характеризует вращения тел вокруг главной оси эллипсоида инерции, совпадающей с общей осью вращения тел.

5. ДВИЖЕНИЕ СВОБОДНОЙ СИСТЕМЫ СООСНЫХ ТЕЛ ПРИ НАЛИЧИИ МАЛОЙ АСИММЕТРИИ

Рассмотрим движение системы соосных тел при наличии малой асимметрии, связанной со смещением d общей оси вращения от оси динамической симметрии тела 2 (рис. 3). При этом ось динамической симметрии тела 1 совпадает с осью вращения и параллельна оси динамической симметрии тела 2. В этом случае центр масс системы O будет принадлежать отрезку O_1O_2 , образованному центрами масс тел и не будет изменять своего положения относительно тела 2.

Введем в рассмотрение следующие системы координат. $Oxuz$ – основная подвижная система координат, оси которой жестко связаны с телом 2, причем ось Ox лежит в экваториальной плоскости, перпендикулярной оси вращения и совпадает с проекцией отрезка O_1O_2 на эту плоскость, ось Oy лежит в указанной плоскости. $O_2\bar{x}\bar{y}\bar{z}$ – главная центральная система координат, связанная с телом 2, оси которой параллельны осям системы $Oxuz$. $O_1\bar{x}'\bar{y}'\bar{z}'$ – главная центральная система координат, связанная с телом 1. $Ox'y'z'$ – система координат с началом в центре масс O , оси которой параллельны осям системы $O_1\bar{x}'\bar{y}'\bar{z}'$. За угол относительной закрутки примем угол между экваториальными осями Ox и Ox' . Пусть m_1 и m_2 – мас-

сы тел 1 и 2 соответственно, а l – расстояние между центрами масс тел O_1 и O_2 .

Проекции угловой скорости тела 2 в системах $Oxyz$ и $O_2\bar{x}\bar{y}\bar{z}$ одинаковы и равны p, q, r , также одинаковы и равны p', q', r' проекции угловой скорости тела 1 в системах $Ox'y'z'$ и $O_1\bar{x}'\bar{y}'\bar{z}'$, так как соответствующие оси являются параллельным. Расстояния между центрами масс тел 1, 2 и центром масс системы в направлении оси вращения соответственно равны (рис. 3): $l_1 = lm_2/(m_1 + m_2)$, $l_2 = lm_1/(m_1 + m_2)$, а в направлении, перпендикулярном оси вращения: $d_1 = dm_2/(m_1 + m_2)$, $d_2 = dm_1/(m_1 + m_2)$.

Малое смещение d (рис. 3) приводит к изменению моментов инерции тела 2 в системе $Oxyz$:

$$I_{xx} = \bar{A}_2 + m_2 l_2^2, \quad I_{yy} = \bar{A}_2 + m_2 l_2^2 + m_2 d_2^2,$$

$$I_{zz} = \bar{C}_2 + m_2 d_2^2,$$

$$I_{xy} = I_{yz} = 0, \quad I_{xz} = -m_2(-l_2)d_2 = m_2 l_2 d_2,$$

где \bar{A}_2, \bar{C}_2 – экваториальный и продольный моменты инерции тела 2, вычисленные в центральной системе $O_2\bar{x}\bar{y}\bar{z}$.

Запишем теорему об изменении кинетического момента в системе координат $Oxyz$ в виде (3). Для этого найдем проекции кинетических моментов тел 1 и 2 на оси систем $Ox'y'z'$ и $Oxyz$ соответственно. Кинетический момент тела 1 вычисляется как сумма кинетических моментов движения центра масс тела 1 – \mathbf{K}_1^e и кинетического момента тела 1 при его вращении относительно центра масс – \mathbf{K}_1^r : $\mathbf{K}_1 = \mathbf{K}_1^e + \mathbf{K}_1^r$.

В проекциях на оси системы координат $Ox'y'z'$ получим:

$$\begin{aligned} \mathbf{K}_1 &= m_1[\delta]^{-1} \left(\begin{bmatrix} -d_1 \\ 0 \\ l_1 \end{bmatrix} \times \begin{bmatrix} p \\ q \\ r \end{bmatrix} \times \begin{bmatrix} -d_1 \\ 0 \\ l_1 \end{bmatrix} \right) + \begin{bmatrix} \bar{A}_1 p' \\ \bar{A}_1 q' \\ \bar{C}_1 r' \end{bmatrix} = \\ &= m_1[\delta]^{-1} \begin{bmatrix} l_1^2 p + d_1 l_1 r \\ q(l_1^2 + d_1^2) \\ d_1^2 r + d_1 l_1 p \end{bmatrix} + \begin{bmatrix} \bar{A}_1 p' \\ \bar{A}_1 q' \\ \bar{C}_1 r' \end{bmatrix}, \end{aligned} \quad (12)$$

где \bar{A}_1, \bar{C}_1 – главные экваториальные и продольный центральные моменты инерции тела 1, а $[\delta] =$

$$= \begin{bmatrix} \cos \delta & -\sin \delta & 0 \\ \sin \delta & \cos \delta & 0 \\ 0 & 0 & 1 \end{bmatrix} - \text{матрица перехода от системы}$$

координат $Ox'y'z'$ к системе $Oxyz$.

Кинетический момент тела 2 запишем в системе $Oxyz$:

$$\mathbf{K}_2 = \hat{\mathbf{I}} \cdot \boldsymbol{\omega} = \begin{bmatrix} (\bar{A}_2 + m_2 l_2^2)p + m_2 l_2 d_2 r \\ (\bar{A}_2 + m_2 l_2^2 + m_2 d_2^2)q \\ (\bar{C}_2 + m_2 d_2^2)r + m_2 l_2 d_2 p \end{bmatrix}. \quad (13)$$

С учетом (12) и (13) векторное уравнение (3) в системе координат $Oxyz$ примет вид:

$$\begin{aligned} &\begin{bmatrix} (\bar{A}_2 + m_2 l_2^2)\dot{p} + m_2 l_2 d_2 \dot{r} \\ (\bar{A}_2 + m_2 l_2^2 + m_2 d_2^2)\dot{q} \\ (\bar{C}_2 + m_2 d_2^2)\dot{r} + m_2 l_2 d_2 \dot{p} \end{bmatrix} + \begin{bmatrix} p \\ q \\ r \end{bmatrix} \times \\ &\times \begin{bmatrix} (\bar{A}_2 + m_2 l_2^2)p + m_2 l_2 d_2 r \\ (\bar{A}_2 + m_2 l_2^2 + m_2 d_2^2)q \\ (\bar{C}_2 + m_2 d_2^2)r + m_2 l_2 d_2 p \end{bmatrix} + \\ &+ [\delta] \left\{ \frac{d}{dt} \left(m_1 p [\delta]^{-1} \begin{bmatrix} l_1^2 p + d_1 l_1 r \\ q(l_1^2 + d_1^2) \\ d_1^2 r + d_1 l_1 p \end{bmatrix} + \begin{bmatrix} \bar{A}_1 p' \\ \bar{A}_1 q' \\ \bar{C}_1 r' \end{bmatrix} \right) + \begin{bmatrix} p' \\ q' \\ r' \end{bmatrix} \right\} \times \\ &\times \left(m_1 [\delta]^{-1} \begin{bmatrix} l_1^2 p + d_1 l_1 r \\ q(l_1^2 + d_1^2) \\ d_1^2 r + d_1 l_1 p \end{bmatrix} + \begin{bmatrix} \bar{A}_1 p' \\ \bar{A}_1 q' \\ \bar{C}_1 r' \end{bmatrix} \right) \Bigg\} = \begin{bmatrix} M_x \\ M_y \\ M_z \end{bmatrix}. \end{aligned} \quad (14)$$

Используя выражения (1), уравнения (14) можно переписать в следующем виде:

$$\begin{aligned} (A_1 + A_2)\dot{p} + qr(C_1 - A_1 + C_2 - A_2) + C_1 q \sigma &= \\ = M_x - (m_1 l_1 d_1 + m_2 l_2 d_2)(pq + \dot{r}), \\ (A_1 + A_2 + m_1 d_1^2 + m_2 d_2^2)\dot{q} + \\ + pr(A_1 - C_1 + A_2 - C_2 - m_1 d_1^2 - m_2 d_2^2) - C_1 p \sigma &= (15) \\ = M_y - (m_1 l_1 d_1 + m_2 l_2 d_2)(r^2 - p^2), \\ (C_1 + C_2 + m_1 d_1^2 + m_2 d_2^2)\dot{r} + C_1 \dot{\sigma} &= \\ = M_z - (m_1 l_1 d_1 + m_2 l_2 d_2)(\dot{p} - qr) - (m_1 d_1^2 + m_2 d_2^2)pq, \end{aligned}$$

где $A_i = \bar{A}_i + m_i l_i^2$, $C_i = \bar{C}_i$ ($i = 1, 2$).

Уравнение относительного движения тел в рассматриваемом случае получается аналогичным уравнению (6). Система (15) совместно с

уравнением (6), представляют собой динамические уравнения движения соосных тел при наличии указанного рода асимметрии.

В качестве малого параметра ε выберем безразмерную величину, характеризующую смещение осей динамических симметрий тел от оси вращения:

$$\varepsilon = \frac{m_1 d_1 l_1 + m_2 d_2 l_2}{A_1 + A_2} = \frac{m_1 m_2 d l}{(m_1 + m_2)(A_1 + A_2)}. \quad (16)$$

Пусть моменты внешних сил и внутреннего взаимодействия отсутствуют, тогда, с точностью порядка ε , динамические уравнения можно записать:

$$\begin{aligned} \dot{p} + aqr + bq\sigma &= -\varepsilon(pq + \dot{r}), \\ \dot{q} - apr - bp\sigma &= -\varepsilon(r^2 - p^2), \\ (C_1 + C_2)\dot{r} + C_1\dot{\sigma} &= -\varepsilon(A_1 + A_2)(\dot{p} - qr), \\ \dot{\sigma} &= -\dot{r}, \end{aligned} \quad (17)$$

где $a = \frac{C_1 - A_1 + C_2 - A_2}{A_1 + A_2}$, $b = \frac{C_1}{A_1 + A_2}$ – безразмерные параметры.

Перейдем от экваториальных угловых скоростей к переменным типа “амплитуда–фаза” G и F с помощью следующей замены:

$$p = G(t) \cos F(t), \quad q = G(t) \sin F(t). \quad (18)$$

Динамические уравнения (17) с точностью порядка ε переписутся следующим образом:

$$\begin{aligned} \dot{G} &= -\varepsilon r^2 \cos F, \\ \dot{F} &= -(ar + b\sigma) - \frac{\varepsilon[G^2 - r^2] \sin F}{G}, \\ \dot{r} &= \frac{\varepsilon(A_1 + A_2)}{C_2} G[r + (ar + b\sigma)] \cos F, \\ \dot{\sigma} &= -\dot{r}. \end{aligned} \quad (19)$$

Решения порождающей системы уравнений ($\varepsilon = 0$) имеют вид:

$$\begin{aligned} \bar{G} &= \frac{K \sin \theta_0}{A_1 + A_2}, \quad \bar{F} = \omega t + \varphi_0, \\ \bar{r} &= r_0, \quad \bar{\sigma} = \sigma_0, \end{aligned} \quad (20)$$

где $\omega = r_0 - \frac{K}{A_1 + A_2} \cos \theta_0 = r_0 - \frac{K_z}{A_1 + A_2} = r_0 - \frac{C_1 \sigma_0 + (C_1 + C_2) r_0}{A_1 + A_2} = -ar_0 - b\sigma_0$

Используя теорему Пуанкаре [7], будем искать решения возмущенной системы (19) в виде следу-

ющих разложений, ограничиваясь двумя членами асимптотического ряда:

$$\begin{aligned} G(t) &= \bar{G} + \varepsilon g(t), \quad F(t) = \bar{F} + \varepsilon f(t), \\ \sigma(t) &= \bar{\sigma} + \varepsilon \Sigma(t), \quad r(t) = \bar{r} + \varepsilon R(t), \\ \delta(t) &= \bar{\delta} + \varepsilon \Delta(t), \quad \dot{\Delta} = \Sigma, \end{aligned} \quad (21)$$

где $\bar{\delta} = \sigma_0 t + \delta_0$, а $g(t), f(t), R(t), \Sigma(t), \Delta(t)$ – подлежащие нахождению функции.

Подставляя выражения (21) в возмущенную систему (19) и приравнивая члены порядка ε , получим систему уравнений для возмущений:

$$\begin{aligned} \dot{g} &= -r_0^2 \cos(\omega t + \varphi_0), \\ \dot{f} &= -(aR + b\Sigma) - \frac{\bar{G}^2 - r_0^2}{\bar{G}} \sin(\omega t + \varphi_0), \\ \dot{R} &= \frac{A_1 + A_2}{C_2} \bar{G} [r_0 - \omega] \cos(\omega t + \varphi_0), \\ \dot{\Sigma} &= -\frac{A_1 + A_2}{C_2} \bar{G} [r_0 - \omega] \cos(\omega t + \varphi_0). \end{aligned} \quad (22)$$

Следуя [7], получим решение системы (22) при нулевых начальных значениях малых возмущений:

$$\begin{aligned} g(t) &= -\frac{r_0^2}{\omega} [\sin(\omega t + \varphi_0) - \sin \varphi_0], \\ f(t) &= \gamma t + \beta [\cos(\omega t + \varphi_0) - \cos \varphi_0], \\ R(t) &= \alpha (\sin(\omega t + \varphi_0) - \sin \varphi_0), \\ \Sigma(t) &= -\alpha (\sin(\omega t + \varphi_0) - \sin \varphi_0), \end{aligned} \quad (23)$$

где

$$\alpha = \frac{A_1 + A_2}{C_2 \omega} \bar{G} [r_0 - \omega],$$

$$\beta = -\frac{1}{\omega} \left\{ \frac{A_1 + A_2}{C_2 \omega} \bar{G} [r_0 - \omega] (b - a) - \frac{\bar{G}^2 - r_0^2}{\bar{G}} \right\},$$

$$\gamma = \alpha \sin \varphi_0 (a - b).$$

Из выражений (23) и (21) следует зависимость от времени для переменных “амплитуда–фаза”, а также угловых скоростей r и σ системы соосных тел с малой асимметрией.

С точностью порядка ε зависимости для экваториальных угловых скоростей можно записать:

$$p(t) = \bar{G} \cos \bar{F} + \varepsilon P(t), \quad q(t) = \bar{G} \sin \bar{F} + \varepsilon Q(t), \quad (24)$$

где

$$P(t) = g \cos \bar{F} - \bar{G}(\beta[\cos(\omega t + \varphi_0) - \cos \varphi_0] + \gamma t) \sin \bar{F},$$

$$Q(t) = g \sin \bar{F} + \bar{G}(\beta[\cos(\omega t + \varphi_0) - \cos \varphi_0] + \gamma t) \cos \bar{F}.$$

Перейдем к определению зависимостей для углов Эйлера, которые будем искать в виде следующих разложений по малому параметру ε :

$$\psi = \bar{\psi} + \varepsilon \Psi(t), \quad \theta = \bar{\theta} + \varepsilon \Theta(t),$$

$$\varphi = \bar{\varphi} + \varepsilon \Phi(t). \quad (25)$$

Порождающие решения $(\bar{\psi}, \bar{\theta}, \bar{\varphi})$ определяются зависимостями (9) с учетом того, что момент внутреннего взаимодействия тел равен нулю ($M = 0$). Подставляя разложения (25) и полученные зависимости для угловых скоростей в уравнения Эйлера (7), приравнявая члены порядка ε , получим кинематические уравнения первого приближения:

$$\dot{\Psi} = -\frac{K \cos \bar{\theta}}{(A_1 + A_2) \sin \bar{\theta}} \Theta + \frac{1}{\sin \bar{\theta}} [P \sin \bar{\varphi} + Q \cos \bar{\varphi}],$$

$$\dot{\Theta} = -\frac{K \sin \bar{\theta}}{A_1 + A_2} \Phi + P \cos \bar{\varphi} - Q \sin \bar{\varphi}, \quad (26)$$

$$\dot{\Phi} = \frac{K}{(A_1 + A_2) \sin \bar{\theta}} \Theta - \text{ctg} \bar{\theta} [P \sin \bar{\varphi} + Q \cos \bar{\varphi}].$$

Отдельно проинтегрируем последние два уравнения неоднородной линейной системы уравнений (26). Воспользуемся формулой Коши [8]:

$$\mathbf{y}(t) = \mathbf{M}(t) \mathbf{M}^{-1}(t_0) \mathbf{y}_0 + \mathbf{M}(t) \int_{t_0}^t \mathbf{M}^{-1}(s) \mathbf{f}(s) ds, \quad (27)$$

где $\mathbf{y}(t)$ – общее решение неоднородной линейной системы дифференциальных уравнений $L(\mathbf{y}) = \mathbf{f}(t)$, L – линейный дифференциальный оператор, t_0 – начальное значение независимой переменной, \mathbf{y}_0 – вектор начальных значений искомых функций, $\mathbf{M}(t)$ – фундаментальная матрица соответствующей однородной системы, а $\mathbf{f}(t)$ – вектор возмущающих функций.

Окончательно запишем решения для малых возмущений углов нутации и собственного вращения при нулевых начальных значениях:

$$\begin{bmatrix} \Theta(t) \\ \Phi(t) \end{bmatrix} = \mathbf{M}(t) \int_0^t \mathbf{M}^{-1}(s) \begin{bmatrix} f^\Theta(s) \\ f^\Phi(s) \end{bmatrix} ds, \quad (28)$$

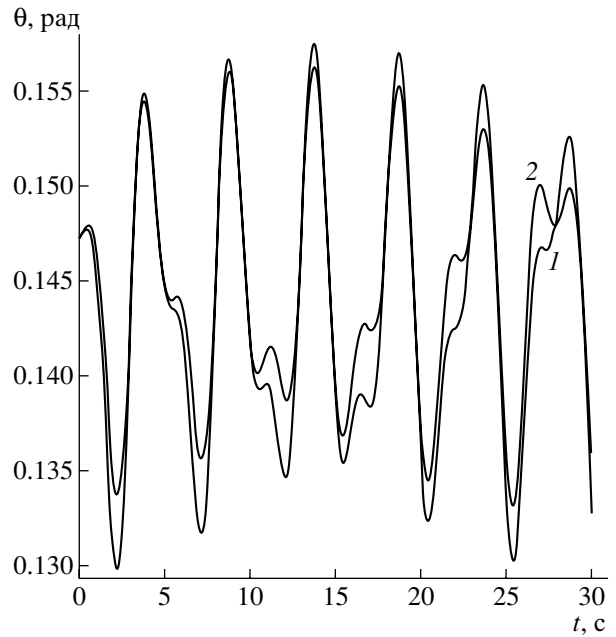


Рис. 4. Сравнение результатов расчета угла нутации: 1 – численное интегрирование, 2 – приближенная аналитическая зависимость.

где

$$f^\Theta = P \cos \bar{\varphi} - Q \sin \bar{\varphi},$$

$$f^\Phi = -\text{ctg} \bar{\theta} [P \sin \bar{\varphi} + Q \cos \bar{\varphi}]$$

– известные возмущающие функции, а

$$\mathbf{M}(t) = \begin{bmatrix} -\sin \bar{\theta} \sin \left| \frac{K}{A_1 + A_2} t \right| & \sin \bar{\theta} \cos \left| \frac{K}{A_1 + A_2} t \right| \\ \cos \left| \frac{K}{A_1 + A_2} t \right| & \sin \left| \frac{K}{A_1 + A_2} t \right| \end{bmatrix}$$

– фундаментальная матрица решений соответствующей однородной системы.

Если в первое из уравнений (26) подставить зависимость от времени возмущения угла нутации, следующего из (28), то возмущение угла прецессии $\Psi(t)$ определится интегрированием:

$$\Psi(t) = \frac{1}{\sin \bar{\theta}_0} \times \int_0^t \left(-\frac{K \cos \bar{\theta}_0}{(A_1 + A_2)} \Theta(t) + P(t) \sin \bar{\varphi} + Q(t) \cos \bar{\varphi} \right) dt.$$

Приведем результаты расчета угла нутации $\theta(t)$ (рис. 4) по приближенным аналитическим зависимостям (28), (25), а также с помощью численного интегрирования, полученные при следую-

щих начальных условиях движения и инерционно-массовых параметрах системы:

$$m_1 = 15 \text{ кг}, \quad m_2 = 30 \text{ кг},$$

$$l = 0.4 \text{ м}, \quad d = 0.01 \text{ м}$$

$$A_1 = 2 \text{ кг м}^2, \quad A_2 = 1.5 \text{ кг м}^2,$$

$$C_1 = 1.2 \text{ кг м}^2, \quad C_2 = 1.3 \text{ кг м}^2,$$

$$p_0 = 0.3 \text{ рад/с}, \quad q_0 = 0.2 \text{ рад/с},$$

$$r_0 = 1.1 \text{ рад/с}, \quad \sigma_0 = 5 \text{ рад/с}.$$

При указанных численных значениях малый параметр имеет величину $\varepsilon = 0.01$.

Полученные результаты позволяют проводить анализ движения спускаемых аппаратов с частичной закруткой, а так же выбирать начальные условия движения и инерционно-массовые параметры подобных аппаратов.

СПИСОК ЛИТЕРАТУРЫ

1. *Ярошевский В.А.* Движение неуправляемого тела в атмосфере. М.: Машиностроение, 1978.
2. *Асланов В.С., Мясников С.В.* Устойчивость нелинейных резонансных режимов давления космического аппарата в атмосфере // Космич. исслед. 1996. Т. 34. Вып. 6.
3. *Асланов В.С., Прошлецов А.И.* Движение космического аппарата с малыми грузами, закрепленными на разматывающихся нитях // Труды ХХХ Чтений, посвященных разработке научного наследия и развитию идей К.Э. Циолковского. М., 1996. С. 59–63.
4. *Нейштадт А.И., Пивоваров М.Л.* Переход через сепаратрису в динамике спутника с двойным вращением // Прикладная математика и механика. 2000. Т. 64. Вып. 5.
5. *Механика.* Новое в зарубежной науке. Задачи стабилизации составных спутников / Под редакцией Белецкого В.В. М.: Мир, 1975.
6. *Бухгольц Н.Н.* Основной курс теоретической механики. Ч. 2. М.: Наука, 1972.
7. *Моисеев Н.Н.* Асимптотические методы нелинейной механики. М.: Наука, 1981.
8. *Немыцкий В.В., Степанов В.В.* Качественная теория дифференциальных уравнений. М.: Гос. изд. технико-теоретической литературы, 1949.